

## EMISSIONE DI RADIAZIONE

da particelle cariche  
accelerate.

POTENZIALI RITARDATI di  
HEINRICH - WIECHERT:

l'effetto del campo e.m.



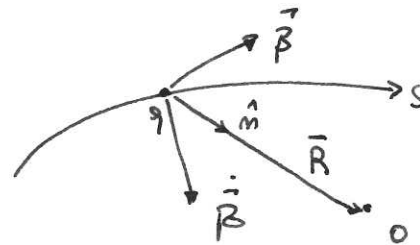
Generato da  $q$  al tempo  $t'$  ad una distanza  $R(t')$  dall'osservatore  $o$ , è percepito in  $o$  al un tempo posteriore  $t = t' + \frac{R(t')}{c}$  a causa della velocità di propagazione  $c$  del campo e.m. (nel vuoto).

$t' :=$  TEMPO RITARDATO o TEMPO PROPRIO

↪ perché è il tempo contagiato nel sistema di rif solo che al moto di  $q$

I potenziali ritardati possono essere calcolati in funzione di coordinate e velocità relativa al tempo  $t'$ :

$$\left\{ \begin{array}{l} \phi = \frac{1}{4\pi\epsilon_0} \left[ \frac{q}{R(1-\hat{m}\vec{\beta})} \right]_{t'} \\ \vec{A} = \frac{1}{4\pi\epsilon_0} \left[ \frac{q\vec{\beta}}{R(1-\hat{m}\vec{\beta})} \right]_{t'} \end{array} \right. \text{ dove } \vec{q}, \vec{\beta}, \hat{m}, \vec{R}, o$$



$$\left\{ \begin{array}{l} \vec{E} = -\vec{\nabla}\phi - \frac{\partial \vec{A}}{\partial t} \\ \vec{B} = \vec{\nabla} \times \vec{A} \end{array} \right. \Rightarrow \left\{ \begin{array}{l} \vec{E} = \frac{q}{4\pi\epsilon_0} \frac{1}{(1-\hat{m}\vec{\beta})^3} \left\{ \frac{1}{j^2} \frac{(\hat{m}-\vec{\beta})}{R^2} + \frac{\hat{m} \times [(\hat{m}-\vec{\beta}) \times \vec{\beta}]}{cR} \right\} \\ \vec{B} = \hat{m} \times \vec{E} \end{array} \right. \begin{array}{l} \text{termine di} \\ \text{"VELOCITA'" o} \\ \text{"NEAR FIELD"} \end{array} \quad \begin{array}{l} \text{termine di} \\ \text{"ACCELERAZIONE" o} \\ \text{"FAR FIELD"} \end{array}$$

N.B. 1: il termine "near field" rappresenta il campo elettrico contenutario, i.e. per una particella in regime non relativistico ( $\vec{\beta} \rightarrow 0$ ) il campo è diretto lungo la direzione di esserezza  $\vec{n}$ . Inoltre la sua dipendenza dalla distanza è  $\sim 1/R^2$  come detto dalla legge di Coulomb. Infine,  $1/j^2$  è la convezione relativistica del campo per particelle in moto e determina la dipendenza dell'energia delle particelle (effetto di CARICA SPAZIALE in fasi accelerati).

N.B. 2: il termine di "far field" è sempre ORTOGONALE alle direzioni di osservazione  $\hat{n}$ , cioè rappresenta il campo che è associato al fronte d'onda di un'onda piana propagante nel vuoto ( $R \rightarrow \infty$ ).

• Significato del termine  $(1 - \hat{n} \cdot \vec{\beta})$ .

1) Il termine  $(1 - \hat{n} \cdot \vec{\beta})$  è intrecciatore nei potenziali standard per tener conto del moto della carica rispetto all'osservatore, quando delle coordinate del campo e.m. nel basso di tempo  $(t-t')$  in  $\mathbf{O}$ . In altre parole, il termine è ottenuto essere legato al passaggio di coordinate temporali  $t' \rightarrow t$  (dal sistema proprio a quello dell'osservatore), esattamente:

$$t' = t - \frac{R(t')}{c} \Rightarrow \frac{dt'}{dt} = 1 - \frac{1}{c} \frac{dR(t')}{dt} = 1 - \frac{1}{c} \frac{dR(t)}{dt'} \frac{dt'}{dt};$$

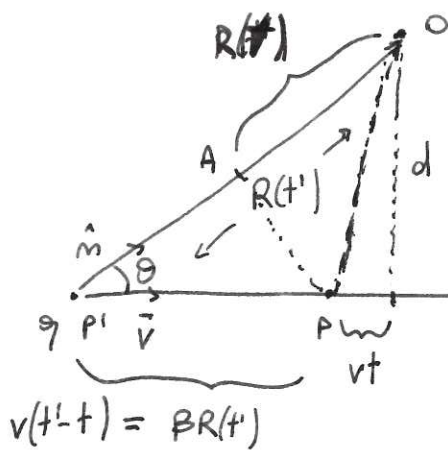
$$\frac{dt'}{dt} \left( 1 + \frac{1}{c} \frac{dR(t')}{dt'} \right) = 1;$$

$v(t')$  ← velocità di  $q$  osservata da  $\mathbf{O}$ , calcolata al tempo  $t'$

$$\Rightarrow \boxed{\frac{dt'}{dt} = \frac{1}{(1 - \hat{n} \cdot \vec{\beta})_{t'}}},$$

dove il segno "-" indica la direzione negativa di  $\vec{R}$  da  $q$  verso  $\mathbf{O}$  (in sostituzione alla linea di ferme del campo).

2) Geometricamente:



$$R(t) = R(t') + \hat{n} \vec{v}(t-t') =$$

$$= R(t') + \hat{n} \vec{v} \frac{R(t')}{c} =$$

$$= R(t') \left( 1 + \beta \cos \theta \right);$$

$$\Rightarrow \boxed{R(t) = R(t') (1 - \hat{n} \cdot \vec{\beta})}$$

MOTO RETTILINEO UNIFORME ( $\vec{\beta} = 0$ )

$$\vec{E} = \frac{q}{4\pi\epsilon_0} \frac{1}{\delta^2} \left[ \frac{\hat{n} - \vec{\beta}}{R^2 (1 - \hat{n} \cdot \vec{\beta})^3} \right]_{t'}, = \frac{q}{4\pi\epsilon_0} \frac{1}{\delta^2} \left[ \frac{R(\hat{n} - \vec{\beta})}{R^3 (1 - \hat{n} \cdot \vec{\beta})^3} \right]_{t'},$$

Verifichiamo che tale espressione è concordabile con quelle calcolato come trasformazione di Lorentz del campo del sistema di riferimento della carica e quello del laboratorio (vedi Appunti precedenti). Ci limitiamo per semplicità alle componenti di  $\vec{E}$  ORTHOGONALI a  $\vec{\beta}$ . In tal caso:

$$E(t')(\hat{n} - \vec{\beta})_y = R(t') \sin \theta.$$

Dalle costruzioni geometriche di cui segue occasione:

$$R(t')(1 - \hat{n} \cdot \vec{B}) = R(t) = \vec{AO} = \sqrt{\underbrace{(d^2 + r^2 t^2)}_{\vec{OP}^2} - \vec{AP}^2}, \text{ dove } \vec{AP} = BR \sin \theta = \beta d,$$

$$\text{quindi: } R(t)(1 - \hat{n} \cdot \vec{B}) = \sqrt{d^2 + r^2 t^2 - \beta^2 d^2} = \sqrt{\frac{1}{j^2} (d^2 + j^2 r^2 t^2)}.$$

Otteneremo inoltre per il campo  $E_x$ :

$$E_x = \frac{q}{4\pi\epsilon_0} \frac{1}{j^2} \frac{R \sin \theta}{\sqrt{(d^2 + j^2 r^2 t^2)^3}} j^3 = \frac{q}{4\pi\epsilon_0} \frac{j \theta d}{(d^2 + j^2 r^2 t^2)^{3/2}} . \quad \text{CVD}$$

N.B.: al tempo  $t=0$  il campo  $E_x$  è pari al campo elettostatico di una partecella immobile sulla perpendicolare all'osservazione o ( $\theta = \frac{\pi}{2}$ )

### PLANO ACCELERATO, GRANDI DISTANZE ( $R \rightarrow \infty$ )

#### . REGIME NON RELATIVISTICO ( $\beta \rightarrow 0$ )

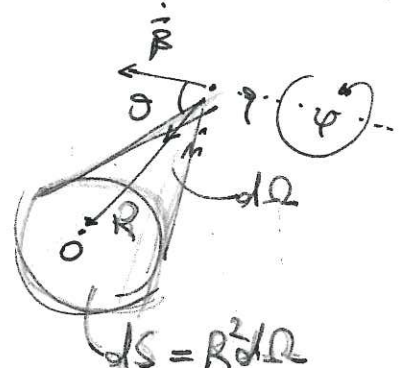
Il termine di "velocità" di  $\vec{B}$  è trascurabile rispetto a quello di "accelerazione" a causa delle più forte dipendenze da  $R$  ( $1/R^2$  vs.  $1/R$ ). Per  $\beta \approx 0$  ottieniamo

$$\vec{E} \approx \frac{q}{4\pi\epsilon_0} \left[ \frac{\vec{n} \times (\vec{n} \times \vec{B})}{cR} \right] \underset{t' \rightarrow 0}{\sim} \sin \theta$$

$$\text{Vettore di Poynting: } \vec{S} \left[ \frac{\vec{J}}{\text{sec. m}^2} \right] := c\epsilon_0 (\vec{E} \times c\vec{B}) = c\epsilon_0 |\vec{E}|^2 \quad \text{(onda piana nel moto)}$$

Potenze istantanee: mediate:

$$\begin{aligned} \boxed{P} &= \int \int \vec{S} \cdot \vec{n} |R^2 d\Omega| = \\ &\quad \xrightarrow{\text{Sup}} \int_0^{2\pi} d\phi \int_0^\pi d\theta \sin \theta \\ &= c\epsilon_0 \frac{q^2}{16\pi^2 \epsilon_0^2} \frac{R^2}{c^2 R^2} \left| \vec{B}(t') \right|^2 2\pi \underbrace{\int_0^\pi d\theta \sin^3 \theta}_{= 4/3} = \\ &\quad \boxed{\frac{1}{4\pi\epsilon_0} \frac{2}{3} \frac{q^2}{c^3} \left| \vec{B}(t') \right|^2}. \end{aligned}$$



FORMULA DI KARLSSON  
In regime non relativistico ( $t' \ll t$ )

Si dimostra che la formula di Lorentz per la potenza maggiore di una singola particella in moto accelerato non relativistico è una approssimazione di una espressione relativistica, e che quest'ultima è un avvicinamento di Lorentz. In tal caso, l'espressione relativistica è valutata direttamente come covariante per il prodotto scalare del 4-vettore forza. Questo risulta, in forma covariante:

$$F_\mu = \frac{dP_\mu}{dt} = \left( \frac{e}{c} F \cdot \vec{u}, \gamma F \right);$$

$$P = -\frac{2}{3} \frac{mc}{m_e c} F^\mu F_\mu = -\frac{1}{4\pi\epsilon_0} \frac{2}{3} \frac{e^2}{m_e^2 c^3} \frac{dP^\mu}{dt} \frac{dP_\mu}{dt} \quad (t=+')$$

$$\frac{dP^\mu}{dt} \frac{dP_\mu}{dt} = \left| \frac{1}{c^2} \left( \frac{dE}{dt'} \right)^2 - \left( \frac{d\vec{p}}{dt'} \right)^2 \right| = \dots \text{dimostrare l'invarianza applicando la trasf. Lorentz } x \in E, \vec{p}$$

$$\begin{cases} E = \gamma(E' + v_x p'_x) \\ p_x = \gamma(p'_x + \frac{v_x}{c^2} E') \\ p_{x,z} = p'_{x,z} \end{cases} \dots = \frac{1}{c^2} \left( \gamma \frac{dE'}{dt'} + \gamma v_x \frac{dp'_x}{dt'} \right)^2 - \left( \frac{dp'_{x,z}}{dt'} \right)^2 - \left( \frac{\gamma dp_x}{dt'} + \frac{\gamma v_x}{c^2} \frac{dE'}{dt'} \right)^2 = \frac{1}{c^2} \left[ \gamma^2 \left( \frac{dE'}{dt'} \right)^2 + \gamma^2 v_x^2 \left( \frac{dp'_x}{dt'} \right)^2 - \left( \frac{dp'_{x,z}}{dt'} \right)^2 + 2\gamma^2 v_x \frac{dE'}{dt'} \frac{dp'_x}{dt'} + \right. \\ \left. - \gamma^2 \left( \frac{dp_x}{dt'} \right)^2 - \gamma^2 v_x^2 \left( \frac{dE'}{dt'} \right)^2 - 2\gamma^2 v_x \frac{dE'}{dt'} \frac{dp_x}{dt'} \right] = \frac{1}{c^2} \left( \frac{dE'}{dt'} \right)^2 \gamma^2 (1-\beta^2) - \left( \frac{dp'_x}{dt'} \right)^2 \gamma^2 (1-\beta^2) - \left( \frac{dp'_{x,z}}{dt'} \right)^2 = \boxed{\frac{1}{c^2} \left( \frac{dE'}{dt'} \right)^2 - \left( \frac{d\vec{p}}{dt'} \right)^2} \quad \text{c.v.s}$$

Spiegazione P in forma "cinetica", funzione di  $\vec{\beta} \cdot \dot{\vec{\beta}}$ . Date l'invarianze di P seguono  $LAB = SR'$  (è omesso l'accento):

$$\frac{dE}{dt} = \frac{d}{dt} (\gamma m c) = m c^2 (-2)(-\frac{1}{2}) \gamma^3 (\vec{\beta} \times \dot{\vec{\beta}}) = m c^2 \gamma^3 (\vec{\beta} \times \dot{\vec{\beta}});$$

$$\frac{d\vec{p}}{dt} = \frac{d}{dt} (\gamma m \vec{\beta} c) = m c \left( \gamma \frac{d\vec{\beta}}{dt} + \vec{\beta} \frac{dc}{dt} \right) = m c \left[ \gamma \dot{\vec{\beta}} + \gamma^3 \vec{\beta} \cdot (\dot{\vec{\beta}} \times \vec{\beta}) \right] = m c \gamma^3 \vec{\beta};$$

Dunque  $P = -\frac{1}{4\pi\epsilon_0} \frac{2}{3} \frac{e^2}{m_e^2 c^3} m c^2 \gamma^2 \gamma^6 \left[ |\dot{\vec{\beta}}|^2 - (\vec{\beta} \times \dot{\vec{\beta}})^2 \right] = *$

$$= -\left( \frac{1}{4\pi\epsilon_0} \frac{2}{3} \frac{e^2}{m_e^2} \right) \gamma^6 \left[ |\dot{\vec{\beta}}|^2 - (\vec{\beta} \times \dot{\vec{\beta}})^2 \right].$$

Calcoliamo nel caso  $\vec{\beta} \parallel \vec{\gamma}$  (LINAC) :

$$P'' = -\frac{1}{4\pi\epsilon_0} \frac{2}{3} \frac{e^2}{c} \gamma^6 |\vec{\beta}_\parallel|^2.$$

Calcoliamo nel caso  $\vec{\beta} + \vec{\gamma}$  (SYNCHROTRON) :

$$P' = -\frac{1}{4\pi\epsilon_0} \frac{2}{3} \frac{e^2}{c} \gamma^6 |\vec{\beta}|^2 (1 - |\vec{\beta}|^2) = -\frac{1}{4\pi\epsilon_0} \frac{2}{3} \frac{e^2}{c} \gamma^4 |\vec{\beta}_\perp|^2$$

I risultati precedenti dipendono da  $\gamma$  - sono ottenibili anche per via delle forze relativistiche :

$$-\frac{dp_x}{dt} \frac{dp_y}{dt} = -F^x F_y = -\frac{\gamma^2}{c^2} (\vec{F} \cdot \vec{u})^2 + \gamma^2 |\vec{F}|^2 = \begin{cases} \gamma^2 f_\parallel^2 (1 - \beta^2) = f_\parallel^2 (\vec{u} \parallel \vec{u}) \\ \gamma^2 F_\perp^2 (\vec{u} \perp \vec{u}) \end{cases}$$

Ricordando che  $\vec{F}_\parallel = \gamma^3 m \vec{a}_\parallel$ ,  $\vec{F}_\perp = \gamma m \vec{a}_\perp$ :

$$P = +\frac{1}{4\pi\epsilon_0} \frac{2}{3} \frac{e^2}{c^3} \frac{1}{m\gamma^2} \begin{cases} \gamma^6 m^2 \alpha_\parallel^2 \\ \gamma^4 m^2 \alpha_\perp^2 \end{cases} \rightarrow \begin{cases} \gamma^6 \alpha_\parallel^2 \\ \gamma^4 \alpha_\perp^2 \end{cases}$$

e per  $\gamma \rightarrow 1$ ,  $P \rightarrow P_L$  (non-relativistica)

Inoltre osserviamo che A PARITÀ di FORZA impressa alle particelle:

$$f_\parallel = f_\perp \Rightarrow \gamma^3 m \alpha_\parallel = \gamma m \alpha_\perp \Rightarrow \alpha_\perp = \gamma^2 \alpha_\parallel, \text{ tale che:}$$

$$\left( \frac{P_\parallel}{P_\perp} \right) = \frac{\gamma^6 \alpha_\parallel^2}{\gamma^4 \alpha_\perp^2} = \frac{\gamma^6 \alpha_\parallel^2}{\gamma^8 \alpha_\parallel^2} = \frac{1}{\gamma^2},$$

La potenza totale ammessa da una ecc. CENTRIPETA =  $\frac{\gamma^2}{\gamma^2 - 1}$  volte

maggiore di quelle in esercizio  
in presenza di ecc. lineare.

POTENZA IRRAGGIATA - LINAC in REGIME RELATIVISTICO.

Ricaviamo  $\frac{dP_{1,2}}{dt} = 0 \Rightarrow \frac{d\vec{p}}{dt} = \frac{dp_x}{dt} \approx \frac{dp}{dt} \quad \cdot \quad dp = \frac{dE}{\beta c}$

$p_{x,z} \ll p_x$   $(x=s)$

Quando dell'invio di Lorentz:

$$\boxed{\frac{P_{\text{LINAC}}}{\gamma^2} = \frac{1}{4\pi\epsilon_0} \frac{2}{3} \frac{q^2}{m^2 c^3} \gamma^2 \left[ \frac{1}{c^2} \left( \frac{dE}{dt} \right)^2 - \left( \frac{dp}{dt} \right)^2 \right] = \frac{1}{4\pi\epsilon_0} \frac{2}{3} \frac{q^2}{m^2 c^3} \gamma^2 \left[ \frac{1}{c^2} \left( \frac{dE}{dt} \right)^2 - \frac{1}{\beta^2 c^2} \left( \frac{dE}{dt} \right)^2 \right] =}$$

$$\frac{dt}{ds} = \frac{dt}{\gamma}$$

$$= - \frac{1}{4\pi\epsilon_0} \frac{2}{3} \frac{q^2}{m^2 c^3} \frac{1}{c^2} \gamma^2 \left( 1 - \frac{1}{\beta^2} \right) \left( \frac{dE}{ds} \right)^2 = \boxed{- \frac{1}{4\pi\epsilon_0} \frac{2}{3} \frac{q^2}{m^2 c^3} \left( \frac{dE}{ds} \right)^2}$$

Il rapporto delle POTENZA ISTANTANEA IRRAGGIATA sulla POTENZA ACCUMULATA delle particelle in accelerazione è:

$$\frac{P_{\text{LINAC}}}{\left( \frac{dE}{dt} \right)} = - \frac{1}{4\pi\epsilon_0} \frac{2}{3} \frac{q^2}{m^2 c^3} \frac{1}{\beta} \left( \frac{dE}{ds} \right) = \boxed{- \frac{1}{4\pi\epsilon_0} \frac{2}{3} \frac{rc_e}{\beta c} \frac{d\gamma}{ds}} \ll 1$$

$\approx \frac{10^{-1} \cdot 10^{-15}}{10^{-12}} \frac{10^8}{10^8} \approx 10^{-4}$

↑ MISURABILE per ogni tipo di particelle

POTENZA IRRAGGIATA - ANELLO in REGIME RELATIVISTICO.

Assumiamo che le variazioni di ENERGIA per GIRO siano « variazioni di IMPULSO » durante l'ACCELERAZIONE CONTRIPIETA',  $\frac{1}{c^2} \frac{(dE)}{dt}_{\text{turn}} \ll \left( \frac{dp}{dt} \right) \approx \left( \frac{dp_z}{dt} \right)_{\text{turn}}$ , e ricordando che in regime relativistico  $F_z = q m \alpha_z$ , troviamo:

$$\boxed{P_{\text{SR}} = \frac{1}{4\pi\epsilon_0} \frac{2}{3} \frac{q^2}{m^2 c^3} \gamma^2 \cdot \gamma^2 m^2 \frac{V_z^4}{R^2} \neq \frac{1}{4\pi\epsilon_0} \frac{2}{3} \frac{q^2}{c^2} \frac{\beta^4 \gamma^4}{R^2} \approx \left( \frac{E}{m} \right)^4 \frac{1}{R^2}}$$

ENERGIA PER GIRO:

$$\boxed{U_0 = \oint \frac{P_{\text{SR}}}{pc} ds = \frac{q^2}{4\pi\epsilon_0} \frac{2}{3} \beta^3 \gamma^4 \oint \frac{dp}{R^2} \neq \frac{q^2}{3\epsilon_0} \frac{\beta^3 \gamma^4}{R}}$$

$\approx \frac{2\pi}{R}$

è parità di energia totale, particelle più "leggere" emettono maggiore  $P_{\text{SR}}$   
 $\Rightarrow$  LEPTONI > ADRONI.

$$U_0 [\text{eV}] = 8.85 \cdot 10^4 \frac{E^4 [\text{GeV}]}{R[\text{cm}]} = 2.65 \cdot 10^4 E^3 [\text{GeV}] B [\text{T}]$$

$$P_{\text{tot}} (\text{1 bunch}) = \frac{U_0 N_b}{T_{\text{tr}}} = \frac{U_0 \bar{I}_b}{e}$$

# DISTRIBUZIONE ANGOLARE delle POTENZE IRRAGGIATA (angolare)

Le quantità di energia immagazzinata in un intervallo temporale ( $t_2 - t_1$ ) volatilizzata nelle posizioni dell'osservatore o è:

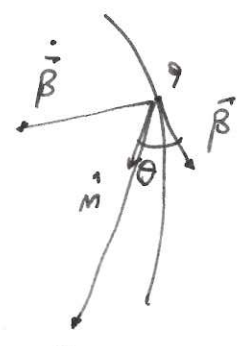
$$U(t_2 - t_1) = \int_{t_1}^{t_2} P(t) dt = \int_{t_1}^{t_2} dt \int d\Omega (15 \cdot m |R^2|)_{t_1} = \int_{t_1}^{t_2} \int d\Omega (15 \cdot m |R^2| \frac{dt}{dt'} dt')$$

Dallo def.  $\frac{dt}{dt'} = (1 - \hat{m} \vec{\beta})_{t_1}$ , troviamo:

$$\frac{dP(t')}{d\Omega} = c \epsilon_0 \frac{q^2}{16\pi^2 \epsilon_0^2} \frac{(1 - \hat{m} \vec{\beta})_{t_1}}{(1 - \hat{m} \vec{\beta})_{t_1}^5} \left\{ \frac{\hat{m} \times [(\hat{m} - \vec{\beta}) \times \vec{\beta}]^2}{c^2 R^2} \right\}_{t_1} = \\ = \frac{q^2}{16\pi^2 \epsilon_0} \frac{1}{(1 - \beta \cos \theta)^5} \left\{ \frac{2 \hat{m} \times [(\hat{m} - \vec{\beta}) \times \vec{\beta}]^2}{R^2} \right\}_{t_1}$$

d tempo  
"proprio"  
 $t_1 \rightarrow t_2$

potenze immagazzinate  
per unità di angolo  
solido, d tempo +!



## $\vec{\beta} \parallel \vec{\beta}$ (LINAC)

Nella esposizione di cui sopra:

$$\hat{m} \times [(\hat{m} - \vec{\beta}) \times \vec{\beta}] = \hat{m} \times [(\hat{m} \times \vec{\beta}) - (\vec{\beta} \times \vec{\beta})] = \\ = \vec{\beta} \sin \theta \hat{m}$$

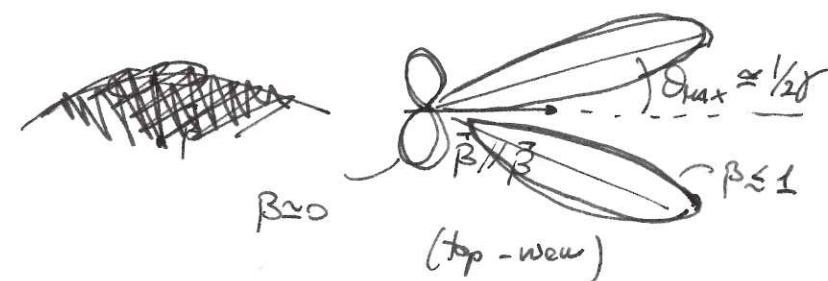
Dovendo:

$$\left| \frac{dP(t')}{d\Omega} \right| = \frac{q^2 \vec{\beta}^2(t')}{16\pi^2 c \epsilon_0} \frac{\sin^2 \theta}{(1 - \beta \cos \theta)^5} \Rightarrow \theta(P_{\max}) \xrightarrow{\beta \rightarrow 1} \pm \frac{1}{2\gamma} \\ \theta_{\text{eff}} = \pm \frac{1}{\gamma}$$

Nel regime non relativistico,  $\beta \rightarrow 0$ , ottengono la formula di LARSON (con dipendenza angolare):

$$\frac{dP(t')}{d\Omega} (\beta \rightarrow 0) \approx \frac{q^2}{16\pi^2 c \epsilon_0} \vec{\beta}^2 \sin^2 \theta$$

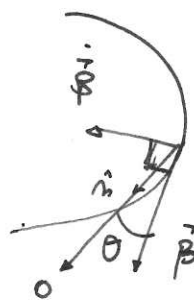
N.B.: La dipendenza angolare  $\sim \sin^2 \theta$  è la stessa che nel regime relativistico, nel sistema di riferimento delle particelle ( $\beta=0$ )!



$$\cdot \boxed{\vec{B} \perp \vec{\beta} \text{ (SINCRONICO)}}$$

Nella espressione di  $\frac{dP(t')}{d\Omega}$  troviamo ora la seguente dipendenza cyclotrone:

$$\hat{n} \times [(\hat{n} - \vec{\beta}) \times \vec{\beta}] = \hat{n} \times [(\hat{n} \times \vec{\beta}) - (\vec{\beta} \times \vec{\beta})] =$$



$$= \hat{n} \times (\vec{\beta} \cos \theta - \vec{\beta} \cdot \vec{\beta}) \hat{n} = \vec{\beta} (\cos \theta - 1). \text{ Allora:}$$

$$\frac{dP(t')}{d\Omega} = \frac{q^2}{16\pi^2 c \epsilon_0} \frac{1}{(1 - \beta \cos \theta)^5} \frac{\vec{\beta}^2 R}{R^2} \underbrace{(\cos^2 \theta + \beta^2 - 2\beta \cos \theta)}_{= (1 - \beta \cos \theta)^2 - (1 - \beta^2) \sin^2 \theta} =$$

$$= \frac{q^2}{16\pi^2 c \epsilon_0} \frac{|\vec{\beta}|^2}{(1 - \beta \cos \theta)^3} \left[ 1 - \frac{(1 - \beta^2) \sin^2 \theta}{(1 - \beta \cos \theta)^2} \right]_{+1}^{+1} \begin{cases} \cos^2 \theta \text{ se all'osservazione} \\ \text{non è nel piano} \\ (\vec{\beta}, \hat{n}) \end{cases}$$

Integrando su  $\int_0^\pi d\theta \sin \theta$  si trova l'espressione già ottenuta per  $P_{SR}$  nel tempo  $t$ .

Esplorando il termine cyclotrone per  $\theta \ll 1$  troviamo che  $\frac{dP(t')}{d\Omega} \propto \frac{1}{(\theta^2 + \frac{1}{j^2})^3}$  e cioè la potenza è già ridotta di un fattore  $1/8$  rispetto all'esistere in esse ( $\theta = 0$ ) quando  $\theta = \pm \frac{1}{j}$ .

$\Rightarrow$  la maggior parte della  $P_{SR}$  è emessa entro un angolo  $\boxed{\theta = \pm \frac{1}{(2)j}}$

N.B.: La dipendenza cyclotrone nel LAB per  $P_{SR}(\theta)$  può essere

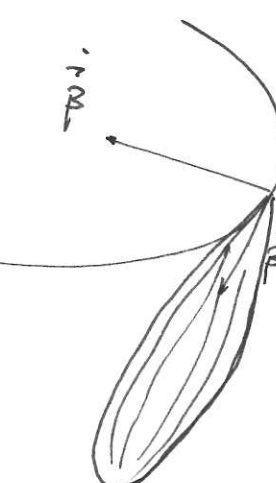
raccomandata se si vuole equivalente

trasformando l'angolo di emissione di  $\frac{dP(t')}{d\Omega} (\vec{\beta} \# \vec{\beta}) \sim \sin^2 \theta'$  del

SR' al LAB e nel limite  $\beta \rightarrow 0$ ,

ma in questo caso si perde parte della dipendenza esatta sopra descritta per  $\beta \neq 1$ .

$$\boxed{\sin \theta' = \frac{\sin \theta}{\sqrt{1 - \beta \cos \theta}}}$$



DIMOSTRAZIONE

$$\frac{dP(t')}{d\Omega} = \frac{q^2}{16\pi^2 c \epsilon_0} \frac{\dot{|\beta|}^2}{(1-\beta \cos\theta)^3} \left[ 1 - \frac{(1-\beta^2) \sin^2\theta}{(1-\beta \cos\theta)^2} \right] = \dots$$

approssimazione ad angolo piccolo:

$$\theta \ll 1$$

in regime ultra-relativistico:  $\gamma^2 = \frac{1}{1-\beta^2} \approx \frac{1}{2(1-\beta)}$   
 $\gamma \gg 1, \beta \rightarrow 1$

$$\dots \approx C_1 \frac{\dot{\beta}^2}{\left[1 - \beta\left(1 - \frac{\theta^2}{2}\right)\right]^3} \left\{ 1 - \frac{\theta^2}{\gamma^2 \left[1 - \beta\left(1 - \frac{\theta^2}{2}\right)\right]^2} \right\} =$$

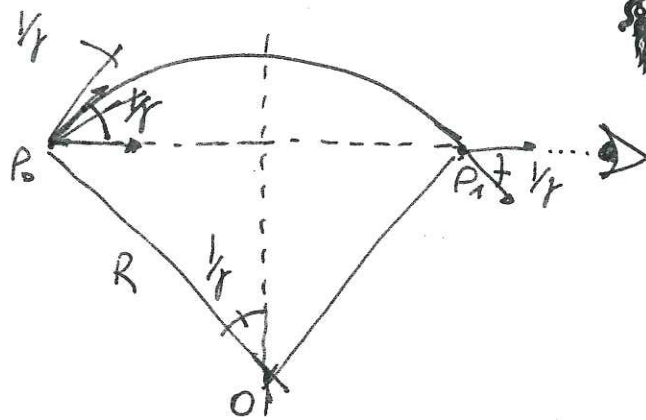
$$= C_1 \frac{\dot{\beta}^2}{\left[1 - \beta + \beta \frac{\theta^2}{2}\right]^3} \left\{ 1 - \frac{\theta^2}{\gamma^2 \left[1 - \beta + \beta \frac{\theta^2}{2}\right]^2} \right\} =$$

$$\approx C_1 \frac{\dot{\beta}^2}{\left(\frac{1}{2\gamma^2} + \frac{\theta^2}{2}\right)^3} \left\{ 1 - \frac{\theta^2}{\gamma^2 \left(\frac{1}{2\gamma^2} + \frac{\theta^2}{2}\right)^2} \right\} =$$

$$= C_1 \frac{8\dot{\beta}^2}{\left(\theta^2 + \frac{1}{\gamma^2}\right)^3} \left\{ 1 - \frac{4\theta^2}{\gamma^2 \left(\theta^2 + \frac{1}{\gamma^2}\right)^2} \right\} \approx C_1 \frac{8\dot{\beta}^2}{\left(\theta^2 + \frac{1}{\gamma^2}\right)^3} \left[ 1 - O(\gamma^2 \theta^2) \right] =$$

$$\propto \frac{1}{\left(\theta^2 + \frac{1}{\gamma^2}\right)^3}$$

DISTRIBUZIONE SPEGTRALE  
delle RAD. SINCR. emesse  
in un DIPOLLO MAGNETICO.



• Il primo fotone viene emesso dal punto  $P_0$   
e raggiunge  $P_1$  al tempo:  $\frac{2R \sin(\frac{1}{f})}{c}$ ,  
dove l'apertura angolare  $\Delta\theta$  della SR  
 $= \pm \frac{1}{f}$ .

• L'ultimo fotone è emesso in  $P_1$  dopo che  
l'elettrone ha attraversato l'arco da  $P_0$  a  $P_1$ ,  
quindi ad un tempo  $\frac{2R}{f} \frac{1}{\beta c}$  dopo l'arrivo  
del primo fotone in  $P_0$ .

$\Rightarrow$  la durata dell'impulso di fotoni visto dall'osservatore è:

$$\Delta t = t_1 - t_0 = \frac{2R}{c} \left[ \frac{1}{\beta f} - \sin\left(\frac{1}{f}\right) \right] \approx \frac{2R}{c} \frac{1}{f} \left( \frac{1-\beta}{\beta} \right) = \frac{2R}{c f} \frac{1}{\beta} \left( 1 - \sqrt{1 - \frac{1}{f^2}} \right) \approx$$

$$\left\{ \begin{array}{l} f \gg 1 \\ \beta \ll 1 \end{array} \right. \frac{2R}{c f} \frac{1}{\beta} \left( 1 - 1 + \frac{1}{2f^2} \right) = \frac{R}{c f^3} \approx \frac{T_{KV}}{f^3}.$$

$\Rightarrow$  le larghezze di bande spettrale associate sono dell'ordine:

$$\Delta \omega \approx \frac{2\pi}{\Delta t} = 2\pi \frac{c f^3}{R}.$$

Si osserverà una emissione a BANDA LARGA f.c.  $\frac{\Delta \omega}{\omega_c} \approx 100\%$ , ci saranno  
le frequenze centrali (met. intervale)  $\omega_0 \approx \frac{c f^3}{R}$ .

In effetti si dimostra che la FREQUENZA CRITICA è:  $\frac{1}{\omega_c} = \frac{3}{2} \frac{c f^3}{R}$ ,  
 $\epsilon_c = \hbar \omega_c = 2.218 \frac{E^3 [GeV]}{R [m]} = 0.665 E^2 [GeV] B [T]$

Lo SPEGTRUM è CONTINUO, tipicamente da UV a raggi X.

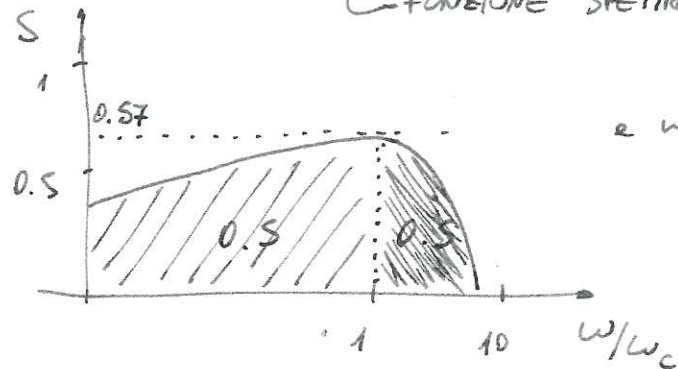
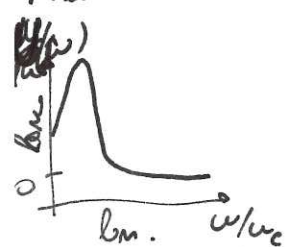
La distribuzione angolare di energia è calcolata con:

$$\frac{dU}{d\Omega} = \int \frac{dP}{d\Omega} d\Omega \sim \int dt |\vec{E}|^2 \xrightarrow{\substack{\text{TRASF.} \\ \text{FOURIER}}} \text{ottenere la distrib.} \\ \text{di energia in frequenza:}$$

$$\Rightarrow \text{risultato: } \boxed{\frac{dU}{dw} = \frac{U_0}{w_c} S(w/w_c)}$$

FUNZIONE SPECTRALE NORMALIZZATA

N.B.:  $S = \ln U(w)$



$$\text{e vale: } \int \delta(w/w_c) S(w/w_c) dw = 0.5,$$

cioè metà delle P  
iniettate è e  
prese per  $w < w_c$

POLARIZZAZIONE.

$$\frac{d^2P}{d\phi d\theta} = \frac{21}{32} \frac{P_0}{2\pi} \delta \frac{1}{(1+r^2\theta^2)^{5/2}} \left( 1 + \frac{5}{7} \frac{r^2\theta^2}{1+r^2\theta^2} \right)$$

$r=0$  - 6,  
POL. ORIZZONTALE,

$r=0$  -  $\pi$ ,  
POL. VERTICALE (solo per  $\theta \neq 0$ )

$$P_{\theta=0} = \frac{7}{8} P_0$$

$$P_{\theta=\pi} = \frac{1}{8} P_0$$

PARAMETRI STATISTICI delle RAD. di SINCRONISMO.

Il fascio circolante nell'acceleratore interagisce con le reazioni messe in moto da se stesso. Dopo un numero abbastanza grande di giri, il fascio raggiunge un EQUILIBRIO DINAMICO delle distribuzioni di partecipanti nello sp. (fig. 6-6). Tali distribuzioni di equilibrio dipendono dai PARAMETRI STATISTICI delle reazioni di fisionosi. Proseguiamo qui di seguito:

$$\langle \varepsilon \rangle = \frac{8}{15\sqrt{3}} \cdot \varepsilon_c, \quad \text{ENERGIA MEDIA dei fotonii eccessi}$$

$$\langle \varepsilon^2 \rangle = \frac{11}{27} \varepsilon_c, \quad \text{SCARPO QUADR. MEDIO}$$

$$\frac{dN_f}{dt} = \frac{P}{\langle \varepsilon \rangle} = \frac{15\sqrt{3} P_0}{8} \frac{1}{\varepsilon_c}, \quad \text{NUMERO MEDIO dei fotonii eccessi per UNITÀ di TEMPO}$$

$$\frac{dN_f}{d\theta} = \frac{Nr R I_b}{ce} = 1.2 \cdot 10^{17} E [GeV] \langle I_b \rangle [A], \quad \text{RAD/SEC/mrad - H.}$$